

بررسی رفتار مهاربند کمانش ناپذیر پیشنهادی متشکل از لوله‌های تودرتو تحت اثر بارگذاری چرخه‌بی

حیدری تکماني^{*} (استادیار)

دانشکده هنری عمران، دانشگاه صنعتی سهند، تبریز

شاهrix مالک (دانشیار)

دانشکده هنری عمران، دانشگاه فنی دانشگاه تهران

مهمنگی عمان، شرف، (اصفهان)، ۱۴۰۰ (۱۱-۱۰-پژوهشی)
دوری ۲-۳، شماره ۲/۳، ص. ۵۰۱-۵۱۱

در نوشتار حاضر، مطالعات پیشین در زمینه‌ی سیستم مهاربندی کمانش تاب تمام فولادی معروفی شده توسط نویسنگان از طریق روش‌های نظری و آزمایشگاهی گسترش یافته است. سیستم پیشنهادی شامل دو عضو لوله‌بی به صورت تودرتو بوده است، که در آن لوله‌ی داخلی به عنوان عضو تسیلیم شونده تحت بار محوری و لوله‌ی خارجی با جزئیات و ملحقات لازم به عنوان مکانیسم مقیدکننده در برابر کمانش عمل می‌کند. در پژوهش حاضر، ضمن معرفی مطالعات پیشنهادی، رفتار آن تحت اثر بارگذاری چرخه‌بی به صورت تفصیلی مطالعه شده است. علاوه بر گزارش مطالعات آزمایشگاهی انجام شده به منظور اثبات مفاهیم مطرحه، مدل سازی‌های عددی مشتمل بر مدل سازی تفصیلی و تحلیل غیرخطی با در نظر گرفتن آثار رفتار غیرخطی هندسی و مصالح و همچنین تماش انجام پذیرفته است. نتایج حاصل از مطالعات حاضر نشان از عملکرد مناسب عضو پیشنهادی به عنوان مهاربند کمانش تاب با رفتار متقارن و پایدار تحت بارگذاری چرخه‌بی دارد. از جمله مزای سیستم پیشنهادی، می‌توان به سهولت ساخت و نصب، کاهش وزن و میزان مصالح مصرفی، تسريع عملیات اجرایی و آثار زیست محیطی مطلوب اشاره کرد.

hamid_heidary@sut.ac.ir
maalek@ut.ac.ir

وازگان کلیدی: مهاربند کمانش تاب، عضو لوله در لوله، بارگذاری چرخه‌بی، تحلیل اجزاء محدود.

۱. مقدمه

مهاربند کمانش تاب یا BRB^۱، یکی از سیستم‌های برابر جنبی است، که در دو دهه‌ی اخیر استفاده از آن در انواع سازه‌ها به خصوص سازه‌های ساختمانی رو به گسترش بوده است. سیستم مهاربند جنبی BRB به دلیل عملکرد مناسبی که از خود نشان داده است، جایگزین مهاربندهای معمولی شده است. در مقایسه با

مهاربندهای معمولی، مهاربند کمانش تاب عملکرد چرخه‌بی متقارن و پایداری داشته است؛ که در نتیجه، ظرفیت اتفاق ارزی قابل توجهی را فراهم می‌کند. اساس عملکرد سیستم مهاربندی BRB، جلوگیری از وقوع کمانش هسته‌ی فولادی به منظار امکان وقوع پدیده‌ی تسیلیم فشاری در آن و دست‌یابی به رفتار متقارن در کشش و فشار است. رفتار متقارن و پایدار در شرایط بارگذاری چرخه‌بی، امکان جذب ارزی قابل توجهی در این عضو از سازه را فراهم می‌کند. در شکل ۱، مقایسه‌ی رفتار مهاربند با مهاربندهای همگرای رایج مشاهده می‌شود.

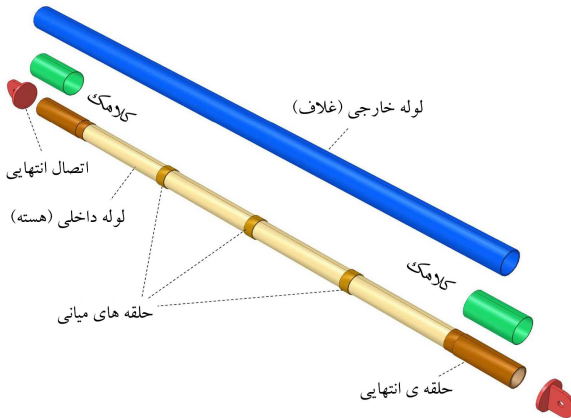
BRB از نظر تاریخی استفاده از مهاربندهای کمانش تاب در دهه‌ی ۱۹۸۰ میلادی در زبان شروع شد. در دهه‌ی ۱۹۹۰، مهاربند کمانش تاب مورد توجه پژوهشگران

* نویسنده مسئول

تاریخ: دریافت ۲۳/۳/۱۴۰۰، اصلاحیه ۲۳/۵/۱۴۰۰، پذیرش ۳۱/۵/۱۴۰۰.

DOI:10.24200/J30.2021.58197.2964

مورد مهاربندهای بتن‌دار پرهیز و فقط به مطالعات شاخص اشاره شده است. مطالعه روی مهاربندهای کمانش تاب نوع پر شده با بتن، برای اولین بار توسط یوشینو و همکارانش^۲ (۱۹۷۱)، آغاز شده است.^[۳] ایشان دو نمونه را با عنوان دیوار



شکل ۳. نمایش مقطع طولی و عرضی مهاربند لوله‌بی کمانش تاب پیشنهادی.

پیشنهادی، حیدری و مالک (۲۰۱۷) نیز مطالعات گسترده‌ی عددی و آزمایشگاهی با هدف بررسی رفتار مهاربند پیشنهادی تحت بارگذاری چرخه‌ی انجام داده‌اند.^[۸] در مطالعه‌ی اخیر، رفتار عضو پیشنهادی تحت اثر بارگذاری یک طرفه و چرخه‌ی با استفاده از مدل سازی عددی با درنظر گرفتن تمام جزئیات اجرایی و شرایط مرزی پرداخته شده است. همچنین مطالعه‌ی پارامتریک گسترده به منظور بررسی تأثیر تمام پارامترهای هندسی و مقاومتی در رفتار مهاربند پیشنهادی انجام شده است.^[۸] هدف اصلی از مطالعات پارامتریک انجام شده، شناسایی تمام عوامل مؤثر در رفتار چرخه‌ی عضو مهاری پیشنهادی بوده است.

در نوشتار حاضر، بر اساس نتایج حاصل از مطالعات پارامتریک عددی ارائه شده‌ی حیدری و مالک (۲۰۱۷)^[۸] نمونه‌ی آزمایشگاهی طراحی و ساخته شده است. نمونه‌ی ساخته شده تحت بارگذاری چرخه‌ی، آزمایش و منحنی رفتار هیسترزیس آن استخراج شده است. سپس نمونه‌ی آزمایش شده به صورت عددی مدل سازی و نتایج حاصل از مدل‌های عددی با نتایج آزمایشگاهی مقایسه شده است. در ادامه‌ی نوشتار حاضر، به شرح و تفسیر مطالعات آزمایشگاهی و عددی پرداخته شده است.

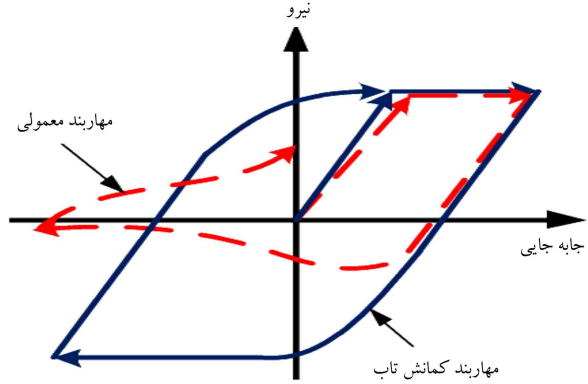
۲. مهاربند کمانش تاب پیشنهادی در پژوهش حاضر

ساختار مهاربند لوله‌بی کمانش تاب پیشنهادی در پژوهش حاضر در شکل ۳ مشاهده می‌شود. مهاربند پیشنهادی متشکل از دو عضو لوله‌بی تordتو با حلقة‌ی میانی است. لوله‌ی داخلی به عنوان هسته‌ی تسليم‌شونده و لوله‌ی خارجی به عنوان غلاف محافظ در برابر کمانش عمل می‌کنند. بر اساس طرح پیشنهادی، لوله‌ی محافظ، سهمی در بارگردانی محوری نخواهد داشت.

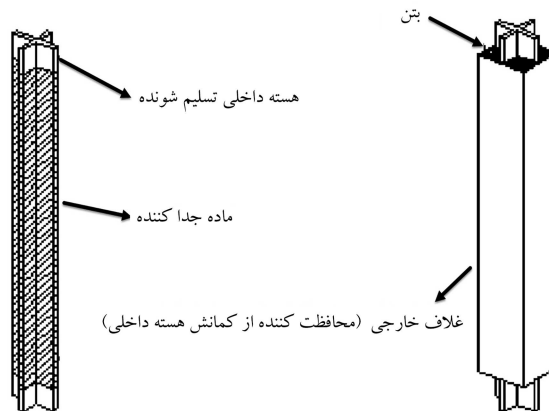
۳. آزمون آزمایشگاهی

به منظور ارزیابی عملکرد عضو مهاری پیشنهادی به عنوان یک نوع مهاربند کمانش تاب، یک نمونه از عضو مذکور ساخته و تحت بارگذاری چرخه‌ی آزمایش شده است. تجهیزات استفاده شده برای انجام آزمایش به طور خلاصه شامل این موارد بوده است (شکل ۴):

- جک بارگذاری دو طرفه‌ی کششی - فشاری با ظرفیت ۳۰۰ تن؛
- سیستم کنترل اتوماتیک دامنه و سرعت جک بارگذاری با قابلیت اعمال و تعیین پروتکل بارگذاری دلخواه؛



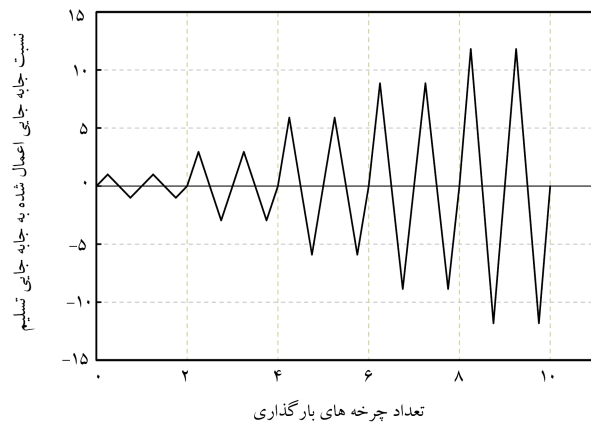
شکل ۱. مقایسه‌ی رفتار مهاربندهای متعارف با مهاربند کمانش تاب در رفتار فرآکشمسان.^[۱]



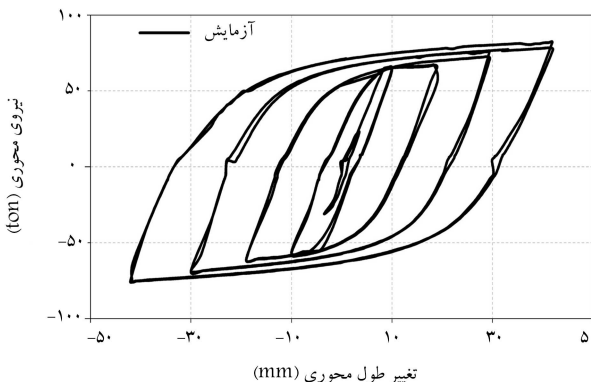
شکل ۲. گونه‌ی رایج مهاربندهای کمانش تاب BRB.^[۲]

برشی، شامل مهاربند تحت بارگذاری چرخه‌ی آزمایش کردن‌که شامل یک صفحه‌ی پهن فلزی محصور شده توسط پانل‌های از بتن مسلح با وجود یک ماده‌ی جداساز بین آنها بود. در نمونه‌ی اول، یک فاصله‌ی ۱۵ میلی‌متری بین قسمت محصور شده با پانل‌های اطراف وجود داشت. در حالی که در نمونه‌ی دوم، چنین فاصله‌ی وجود نداشت. نمونه‌ی اول، تغییرشکل بیشتر و همچنین ظرفیت استهلاک ارزی بیشتری از خود نشان داد. در دهه‌های اخیر، مطالعات عددی و آزمایشگاهی متعددی بر نمونه‌های بتن‌دار مهاربندهای کمانش تاب توسط پژوهشگران کشورهای مختلف انجام شده است، که از آن جمله می‌توان به برخی مطالعات،^[۱۰-۱۲] اشاره کرد. قاسمی و مالک (۱۳۸۶)^[۱۵] در بررسی رفتار مهاربند کمانش تاب پیشنهادی با استفاده از مدل سازی اجزاء محدود، رفتار عضو مهاری کمانش تاب متشکل از دو لوله‌ی تordتو در حالت با حلقة‌ی میانی و بدون آن را تحت بارگذاری یک طرفه مطالعه کردند.

در ادامه‌ی مطالعات انجام شده‌ی اخیر، امیدی (۲۰۱۴)،^[۱۶] نیز به طور عددی و با درنظر گرفتن تمام شرایط مرزی، مطالعه‌ی رفتار مهاربند کمانش تاب قاسمی و مالک را ادامه داده و رفتار لوله‌های متفاوت، لوله‌های دوبل بدون حلقة‌ی واسطه و همچنین لوله‌های دوبل با حلقة‌ی واسطه را به صورت عددی مطالعه کرده است. در رفتار عضو مهاربند پیشنهادی لوله در لوله، فتح آبادی^۴ در تکمیل مطالعات عددی پیشین، ضمن بررسی رفتار مهاربند مذکور در سطح عضو به بررسی رفتار ساختمان‌های مجهز به مهاربند پیشنهادی و مقایسه‌ی آن با دیگر انواع رایج مهاربند‌ها پرداخته است. در تکمیل مطالعات بر روی مهاربند



شکل ۶. پروتکل بارگذاری بر اساس آیین نامه‌ی AISC.



شکل ۷. منحنی هیسترزیس نمونه‌ی حاصل از آزمایش.

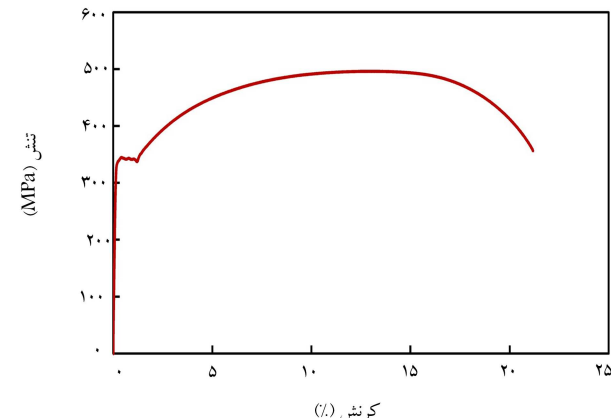
۲.۳. پروتکل بارگذاری
پروتکل استفاده شده در مطالعات آزمایشگاهی و عددی، پروتکل پیشنهادی دستورالعمل AISC ۳۴-۱۰^[۱۸] بوده است، که مطابق شکل ۶ به صورت گام‌های بارگذاری و توقف به سیستم هدایت‌کننده‌ی جک بارگذاری معرفی و به صورت جابه‌جایی محوری به نمونه اعمال شده است.
در طول انجام آزمایش، تغییرشکل محوری نمونه توسط خطکش دیجیتال ثبت و نمودار نیرو - تغییرشکل ترسیم شده است. نمودار مذکور که در ادبیات فنی به منحنی هیسترزیس معروف است، در شکل ۷ مشاهده می‌شود.
همان‌طور که مشهود است، در منحنی حاصل هیچ‌گونه اثری از افت مقاومت یا سختی نیست و نمونه‌ی مورد مطالعه رفتار هیسترزیس پایدار و متقاضن داشته است. نمودار اخیر به روشنی نشان می‌دهد که نمونه‌ی بررسی شده، کفایت و عملکرد مناسب به عنوان یک مهاربند کماش تاب را دارد.
در ادامه نوشتار حاضر نمونه‌ی آزمایشگاهی به صورت عددی با تمام جزئیات مدل‌سازی شده و تحت همان پروتکل استفاده شده در آزمایش، تحلیل صورت گرفته است. مشخصات مصالح در مدل عددی براساس نتایج حاصل آزمون کشش شکل ۵ به نرم افزار معرفی شده است.

۴. مدل‌سازی عددی

رفتار چرخه‌یی عضو مهاری پیشنهادی، رفتاری پیچیده بوده و از نظر مدل‌سازی



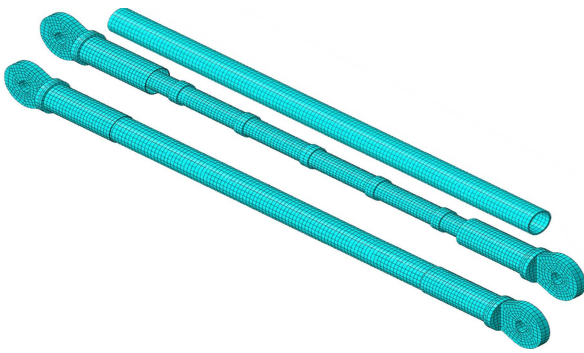
شکل ۴. تجهیزات استفاده شده در آزمایش به همراه نمونه‌ی نصب شده قبل از آزمایش.



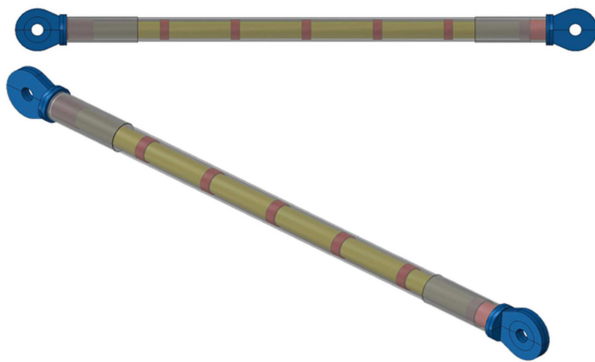
شکل ۵. نمودار تنش - کرنش حاصل از آزمون کشش بر نمونه‌ی فولاد استفاده شده در ساخت نمونه.

- لودسل^۵ دو طرفه‌ی کششی - فشاری با ظرفیت ۲۵۰ تن؛
- خطکش دیجیتال با طول ۴۰ سانتی‌متر جهت اندازه‌گیری جابه‌جایی با دقت ۰/۰۰ میلی‌متر؛
- دستگاه ثبت داده‌ی^۶ تمام اوتوماتیک با قابلیت ثبت داده با بسامد دلخواه.

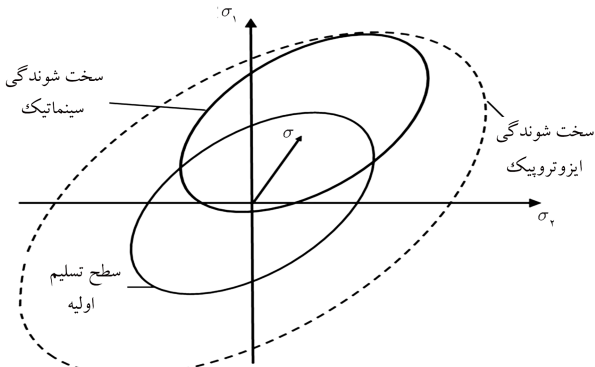
۱.۳. مشخصات هندسی و مقاومتی نمونه‌ی مطالعه شده
طراحی نمونه‌ی آزمایش و تعیین مشخصات هندسی آن براساس مطالعه‌ی پارامتریک انجام شده توسط حیدری و مالک^[۱۷]، انجام پذیرفته است. لازم به ذکر است که در انتخاب مشخصات نمونه‌ی آزمایشی، علاوه بر محدودیت‌های سیستم بارگذاری، امکان تهیه‌ی لوله‌ها و مصالح در بازار داخلی نیز مد نظر بوده است. بر این اساس، لوله‌ی گرم‌نورد بدون درز^۷ با قطر خارجی ۱۴۰ میلی‌متر، ضخامت ۶ میلی‌متر و طول ۲/۵ متر برای غلاف خارجی در نظر گرفته شده است. هسته‌ی داخلی استفاده شده در نمونه‌ی مطالعه شده نیز لوله با قطر ۱۱۴ میلی‌متر، ضخامت ۶ میلی‌متر و طول ۲/۳ متر بوده است. جهت تعیین مشخصات مکانیکی فولاد خریداری شده، آزمون کشش استاندارد بر نمونه‌ها انجام و نمودار تنش - کرنش حاصل در شکل ۵ مشاهده می‌شود.



شکل ۹. مش بندی استفاده شده در مدل سازی عددی.



شکل ۱۰. نمایش اجزاء تشکیل دهنده مهاربند پیشنهادی در مدل عددی.



شکل ۱۱. نمایش ترسیمی مدل های سخت شوندگی فولاد.

جدول ۱. ضرایب به کار رفته در مدل سخت شوندگی ترکیبی.

$(\text{MPa})\sigma_0$	$(\text{MPa})C$	γ	$(\text{MPa})Q_{\text{infinity}}$	b
۳۵۰	۸۰۰۰	۷۵	۱۱۰	۴

۱.۴. مدل سازی سخت شوندگی چرخه‌یی

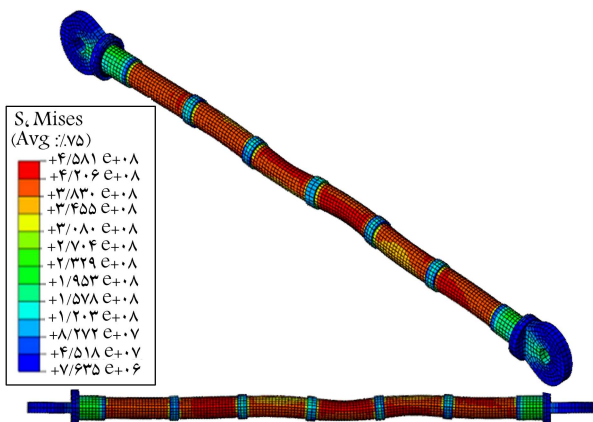
اساساً رفتار فولاد تحت بارگذاری چرخه‌یی و بارگذاری یکطرفه متفاوت است. قوع پدیده‌ی سخت شوندگی کرنشی تحت بارگذاری چرخه‌یی از ویژگی‌های ذاتی فولاد است و تأثیر قابل توجهی در رفتار چرخه‌یی مهاربند کماش تاب دارد. به منظور در نظر گرفتن رفتار سخت شوندگی فولاد تحت بارگذاری چرخه‌یی می‌توان از الگوهای سخت شوندگی ایزوتروپیک^{۱۴}، سینماتیک^{۱۵} و الگوهای ترکیبی^{۱۶} استفاده کرد. در الگوی ایزوتروپیک، سطح تسلیم با حفظ شکل با افزایش سطح تنش گسترش می‌یابد. در حالی که در الگوی سینماتیک، شکل و اندازه‌ی سطح تسلیم ثابت است و فقط در فضای تنش جایه‌جا می‌شود. مدل‌های سخت شوندگی ذکر شده در شکل ۱۰ مشاهده می‌شوند.

بر اساس مطالعات انجام شده ریسی^{۱۷} (۲۰۱۵)،^[۱۹] برای شبیه‌سازی رفتار چرخه‌یی مهاربند‌های کماش تاب استفاده از الگوهای ایزوتروپیک و سینماتیک به تنهایی الگوی مناسب نیست و استفاده از الگوی ترکیبی انتخاب مناسب‌تری است. الگوی ترکیبی، که به الگوی سخت شوندگی ترکیبی شابوش^{۱۸} معروف است، در واقع ترکیب غیرخطی دو الگوی ایزوتروپیک و سینماتیک است. در نوشتار حاضر از الگوی پیشرفتی ترکیبی شابوش استفاده و ضرایب به کار رفته در آن در جدول ۱ ارائه شده است. لازم به ذکر است که ضرایب مذکور از نوشتارهای ژیا و کوامورا^{۱۹} (۲۰۱۴)^[۲۰] و مازولانی^{۲۰} و همکاران^{۲۱} استخراج شده‌اند.

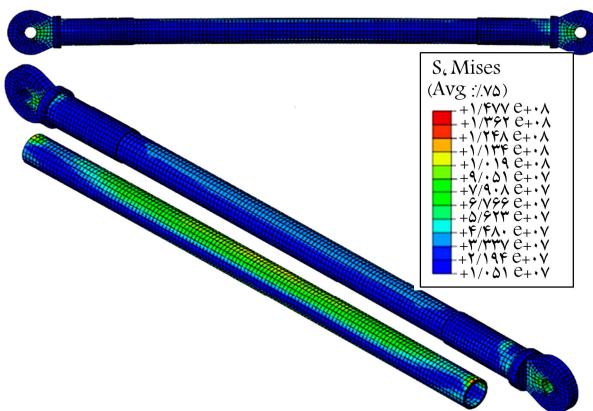
عددی، شامل هرسه عامل غیرخطی هندسی^۸، مصالح^۹ و تماس^{۱۰} است. نرم افزار استفاده شده باید قابلیت شبیه‌سازی تمام عوامل ذکر شده را با دقت مناسب داشته باشد. همچنین به دلیل وقوع پدیده‌هایی نظر کماش موضعی و کلی در عضو تحت بارگذاری چرخه‌یی و همچنین وقوع کرنش‌های خمیری تا سطح نسبتاً زیاد، حلگر نرم افزار باید قابلیت بالایی در پایداری و ادامه‌ی حل داشته باشد. براساس بررسی‌های به عمل آمده، دو نرم افزار پیشرفته‌ی انسیس^{۱۱} و آباکوس^{۱۲} قابلیت‌های مورد نیاز برای مدل سازی‌های عددی با استفاده از نرم افزار رفتار مهاربند پیشنهادی را دارند. نهایتاً در پژوهش حاضر، مدل سازی‌های عددی مهاربند پیشنهادی در مطالعه‌ی حاضر، مشکل از دو لوله از نظر فیزیکی، مهاربند پیشنهادی در مطالعه‌ی حاضر، مشکل از دو لوله تодربو بوده است، که برای هر دو لوله با توجه به ضخامت پایین نسبت به قطر و طول نمونه، استفاده از المان‌های پوسته‌ی مناسب به نظر می‌رسد. اما با توجه به این‌که از نظر رفتاری، مسئله‌ی مورد مدل سازی رفتار غیرخطی پیچیده بوده و به خصوص وقوع کماش موضعی در آن محتمل است؛ لذا المان‌های پوسته‌ی حجمی انتخاب مناسب‌تری خواهد بود. در حالتی که پدیده‌های نظر کماش کای یا موضعی رخ دهنده و المان‌ها، کرنش خمیری بالایی تجربه کنند، المان‌های پوسته نمایش بهتری از رفتار عضو خواهند داشت. همچنین توزیع تنش و تغییرشکل‌های رخداده در المان‌های پوسته در مقایسه با المان‌های پوسته‌ی، بهتر نمایش داده خواهد شد.

المان‌های پوسته در آباکوس به دو صورت ۸ گره‌یی (مرتبه‌ی اول، خطی) و ۲۰ گره‌یی (مرتبه‌ی دوم، غیرخطی) قابل استفاده هستند. براساس راهنمای نرم افزار در مدل سازی پدیده‌هایی نظر کماش، در صورت استفاده از المان‌های خطی مرتبه‌ی اول C³D⁸ و قوع پدیده‌ی قفل شدگی برشی^{۱۳} محتمل است و باید کنترل شود. استفاده از روش انتگرال‌گیری کاوش یافته، احتمال وقوع قفل شدگی برشی را کاهش می‌دهد. با وجود این، در مطالعه‌ی حاضر به منظور بررسی رفتار عضو پیشنهادی با دقت بیشتر، از المان‌های غیرخطی ۲ گره‌یی استفاده شده است. المان‌های مرتبه‌ی دوم، توزیع تنش خصوصاً در محل‌های تغییرشکل موضعی را بهتر نمایش می‌دهند. به علاوه المان‌های مرتبه‌ی دوم نسبت به المان‌های مرتبه‌ی اول، نمایش بهتری از قوع تغییرشکل‌ها ارائه می‌کنند.

بر اساس توضیحات ارائه شده، المان استفاده شده در پژوهش حاضر، المان ۲۰ گره‌یی است، که در حالت انتگرال‌گیری کاوش یافته استفاده می‌شود. نمایش المان مذکور در آباکوس به صورت C³D²⁰R است. برای اساس، در تمام موارد از دست کم دو المان در ضخامت استفاده شده است. در شکل ۸، مش بندی استفاده شده در شبیه‌سازی عددی و اجراء مختلف مدل عددی و در شکل ۹، مش بندی استفاده شده مشاهده می‌شود.



شکل ۱۲. تغییرشکل هسته‌ی داخلی بعد از اتمام چرخه‌های بارگذاری.



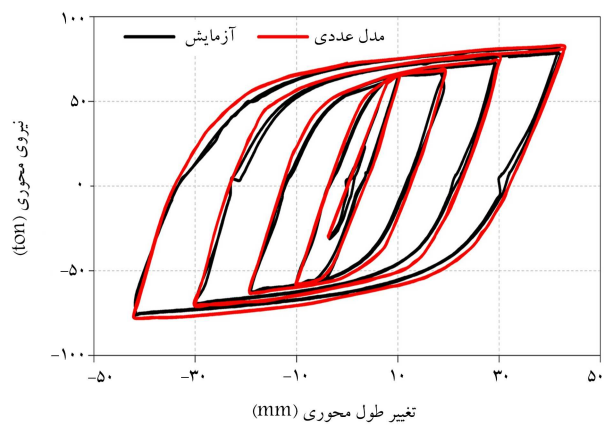
شکل ۱۳. تغییرشکل غلاف خارجی بعد از اتمام چرخه‌های بارگذاری.

تغییرشکل هسته‌ی داخلی و غلاف خارجی در انتهای پروتکل نشان می‌دهد که پرش‌های جزئی در نمودار حاصل از آزمایش، به دلیل نشت‌های احتمالی و جزئی روغن در مجموعه‌ی سیستم بارگذاری است. بارگذاری به ترتیب در شکل ۱۲ و ۱۳ مشاهده می‌شود.

مود کمانش هسته‌ی داخلی در شکل ۱۲ مشهود است و این موضوع نشان از عملکرد مناسب مدل عددی در مدل‌سازی تماس بین هسته‌ی داخل و غلاف خارجی دارد. بر اساس کاتور تنش ارائه شده در هر شکل، بیشینه‌ی تنش ایجاد شده در غلاف خارجی، حدود ۱۴۸ مگاپاسکال بوده است، که این موضوع نشان می‌دهد رفتار غلاف خارجی کاملاً در محدوده‌ی کشسان بوده و غلاف خارجی هیچ گونه مشارکتی در باربری محوری نداشته است. بیشینه‌ی تنش ایجاد شده در هسته‌ی داخلی برابر ۴۵۸ مگاپاسکال بوده است، که نشان می‌دهد هسته‌ی داخلی، طبق انتظار کاملاً به مرحله‌ی تسیلیم رسیده است. خاطر نشان می‌سازد که مکانیزم اصلی اتفاق از زی در این نوع مهاربند، تسیلیم متوالی هسته در چرخه‌های کششی و فشاری است.

۶. نتیجه‌گیری

در پژوهش حاضر، ضمن معرفی نوع جدیدی از مهاربند کمانش‌تاب متشکل از دو لوله‌ی تودرتو، رفتار آن تحت بارگذاری چرخه‌یی به صورت آزمایشگاهی و عددی بررسی شده است. در راستای تکمیل مطالعات عددی پیشین انجام گرفته



شکل ۱۱. منحنی‌های هیسترزیس حاصل از مدل‌های عددی و آزمایش.

۲.۴. مدل‌سازی تماس^{۲۱} بین اعضاء

در نمونه‌ی پیشنهادی، تمام بار محوری توسط لوله‌ی داخلی تحمل می‌شود و لوله‌ی خارجی فقط از کمانش لوله‌ی داخلی محافظت می‌کند و که آن هم فقط از طریق تماس دو لوله به هم تأمین می‌شود. به همین دلیل مدل‌سازی تماس گستردۀ بین سطح داخلی لوله‌ی خارجی و سطح خارجی لوله‌ی داخلی از نکات کلیدی در شبیه‌سازی رفتار مهاربند پیشنهادی است.

از بین تئوری‌های مختلف موجود در مدل‌سازی تماس، بر اساس رهنمودهای موجود در نرم‌افزار آباکوس، در پژوهش حاضر از الگوریتم پیشرفتۀ پنالتی^{۲۲} استفاده شده است. رفتار تماسی بین دو لوله در جهت نرمال باید به گونه‌یی باشد که پس از برقراری تماس بین هر دو سطح، اولاً نفوذی بین دو سطح رخ ندهد و ثانیاً با تغییر شرایط بارگذاری، امکان جدایش دو سطح و برقراری مجدد تماس فراهم شود. همچنین با توجه به وجود اصطکاک در تماس دو سطح آهن به آهن، لازم است در مدل‌سازی رفتار مماسی دو سطح تماس، نیروی اصطکاک لحظه شود. رفتار تماسی ذکر شده با استفاده از ضرب اصطکاک شبه‌ی سازی شده است. در برخی مطالعات، مقدار ضرب اصطکاک مناسب برابر ۰/۰ تا ۰/۲ پیشنهاد شده و در آنها برای تعیین ضرب اصطکاک بین دو سطح فولاد به فولاد روغن‌کاری شده در مهاربندهای کمانش‌تاب، مطالعات آزمایشگاهی و عددی متعددی، [۲۴-۲۲] انجام و مقدار ضرب اصطکاک تعیین شده است.

۵. مقایسه‌ی نتایج حاصل از آزمایش با نتایج حاصل از

مدل عددی

مدل عددی تحت همان پروتکل بارگذاری استفاده شده در آزمایش، تحلیل شده است، که منحنی هیسترزیس حاصل از آن در شکل ۱۱ مشاهده می‌شود. منحنی هیسترزیس حاصل از مدل عددی از نظر ساختاری، متقاضان است و هیچگونه افت سختی یا مقاومت در منحنی مشاهده نمی‌شود. این موضوع نشان از عملکرد مناسب مدل عددی در شبیه‌سازی رفتار عضو مطالعه دارد.

همچنین برای مقایسه‌ی بهتر نتایج، نمودار حاصل از آزمایش نیز در شکل ۱۱ مشاهده می‌شود، که مطابق آن، انطباق مناسبی بین نتایج مدل عددی و نتایج حاصل از آزمایش وجود دارد. این امر ضمن تأیید کفایت عضو پیشنهادی به عنوان عضو مهاری کمانش‌تاب، صحبت و دقت مدل‌سازی عددی را نیز نشان می‌دهد.

نچسب است، که از نظر اجرایی نسبتاً مشکل است) و افزایش سرعت ساخت را به همراه دارد. همچنین حذف بتن پُرکننده موجب سبکی عضو مهاربند می‌شود، که این امر موجب سهولت حمل، نصب و برچیدن احتمالی می‌شود.

با توجه به این که در آزمون‌های آزمایشگاهی، ظرفیت سیستم بارگذاری از مهمترین عوامل تعیین‌کننده در طراحی نمونه است، در مطالعه‌ی حاضر سیستم بارگذاری تا ظرفیت ۲۵۰ تن توسعه داده شده است، که این مقدار می‌تواند جهت آزمایش اعضاء مهاری برای کاربرد در ساختمان‌های مسکونی کوتاه‌مرتبه به کار رود.

کاربرد عضو مهاری محدود به سازه‌های ساختمانی نیست و در سایر سازه‌ها، خصوصاً سازه‌های ساخته شده از اعضاء لوله‌یی نظیر سازه‌های دریابی قابل استفاده است. کاربرد اعضاء ذکر شده در سازه‌های دریابی توسط نویسنده‌گان بررسی شده است، که الیه در مرحله‌ی نگارش نتایج است.

توسط نویسنده‌گان نوشتار حاضر (حیدری و مالک)، نمونه‌ی آزمایش بر اساس مطالعه‌ی پارامتریک گستردگی ایشان (۲۰۱۷)،^[۸] طراحی و ساخته شده است. نتایج حاصل از مطالعات آزمایشگاهی و عددی نشان از عملکرد مناسب عضو پیشنهادی به عنوان مهاربند کمانش تاب با رفتار متقاض و پایدار تحت بارگذاری چرخه‌یی دارد.

سطح زیر منحنی هیسترزیس معرف میزان انرژی جذب شده توسط نمونه‌ی تحت بارگذاری چرخه‌یی است. با توجه به شکل پایدار و متقاض چرخه‌های هیسترزیس حاصل از آزمایش و مدل‌سازی عددی، عضو پیشنهادی قابلیت جذب انرژی بالای تحت بارهای رفت و برگشتی نظیر زلزله دارد.

از نظر کاربرد ساختمانی و مقایسه با مهاربندهای رایج پُرشده با بتن، در مهاربند پیشنهادی نیازی به استفاده از بتن محصورکننده نیست. این موضوع صرف‌جویی در مصرف مصالح، سهولت ساخت اعضاء مهاری (اجرای بتن مستلزم اجرای ماده‌ی

پانوشت‌ها

1. buckling restrained brace
2. all-steel buckling restrained brace
3. Yoshino et al
4. Fotoohabadi
5. Loadcell
6. data logger
7. hot rolled seamless
8. non-linear geometry
9. material non-linearity
10. contact
11. SNSYS
12. ABAQUS
13. shear locking
14. isotropic hardening
15. kinematic hardening
16. combined hardening
17. Rossi
18. chaboche combined isotropic/ kinematic model
19. Jia and Kuwamura
20. Mazzolani
21. contact
22. penalty algorithm

منابع (References)

1. Xie, Q. "State of the art of buckling-restrained braces in Asia", *Journal of Onstructional Steel Research*, **61**(6), pp. 727-748 (2005).
2. Lai, J.-W. and Tsai, K.-Ch. "Research and application of buckling restrained braces in Taiwan", *ANCER Annual Meeting 2004, Hawaii, USA* (2004).
3. Yoshino, T. and Karino, Y. "Experimental study on shear wall with braces: Part 2: summaries of technical papers of annual meeting", *Architectural Institute of Japan, Structural Engineering Section*, **11**, pp 403-404 (1971).
4. Xu, L., Chen, P. and Li, Z. "Development and validation of a versatile hysteretic model for pre-compressed self-centering buckling-restrained brace", *J. Constr. Steel Res.*, **177**, 106473 (Feb 2021).
5. Wang, C.L., Qing, Y., Wu, J. and et al. "Analytical and experimental studies on buckling-restrained brace with gap-supported tendon protection", *J. Constr. Steel Res.*, **164**, 10580 (Jan 2020).
6. Dehghani, M. and Tremblay, R. "Design and full-scale experimental evaluation of a seismically endurant steel buckling-restrained brace system", *Earthq. Eng. Struct. Dyn.*, **47**(1), pp. 105-129 (Jan 2018).
7. Jia, L.J., Ge, H., Maruyama, R. and et al. "Development of a novel high-performance all-steel fish-bone shaped buckling-restrained brace", *Eng. Struct.*, **138**, pp. 105-119 (May 2017).
8. Heidary-Torkamani, H. and Maalek, S. "Conceptual numerical investigation of all-steel tube-in-tube buckling restrained braces", *J. Constr. Steel Res.*, **139**, pp. 220-235 (2017).
9. Alhamaydeh, M., Abed, F. and Mustapha, A. "Key parameters in fl uencing performance and failure modes for BRBs using nonlinear FEA", *JCSR*, **116**, pp. 1-18 (2016).
10. Yin, Z.Z. and Bu, F. "Overall stability analysis of improved buckling restrained braces", *Open Civ. Eng. J.*, **10**(1), pp. 61-75 (2016).
11. Kersting, R.A.; Fahnestock, L.A. and López, W.A. "Seismic design of steel buckling-restrained braced frames: A guide for practicing engineers", *NEHRP Seismic Design Technical Brief No. 11*, NIST GCR 15-917-34 (2015).
12. Piedrafita, D., Cahis, X., Simon, E. and et al. "A new perforated core buckling restrained brace", *Eng. Struct.*, **85**, pp. 118-126 (2015).
13. Atlayan, O. and Charney, F.A. "Hybrid buckling-restrained braced frames", *J. Constr. Steel Res.*, **96**, pp. 95-105 (2014).

14. Mahmudi, M. and Zaree, M. "Determination the response modification factors of buckling restrained braced frame", *Procedia Eng.*, **54** (2005), pp. 222-231 (2013).
15. Maalek, S. and Ghasemi, S. "The introduction of a buckling restrained bracing system", *14th Eur. Conf. Earthq. Eng.* (2010).
16. Omidi, H. "Presentation and development of the proposed double-tube system as buckling restrained brace", *M.Sc dissertation, College of Civil Engineering, University of Tehran, Iran* (2014).
17. Fotoohabadi, A. "An investigation of the behavior of steel frames equipped with double-tube buckling restrained braces", *M.Sc dissertation, College of Civil Engineering, University of Tehran, Iran* (2015).
18. AISC 341-10, "Seismic provisions for structural steel buildings", (2010).
19. Rossi, P.P. "Importance of isotropic hardening in the modeling of buckling restrained braces", *J. Struct. Eng.*, **141**(4), 04014124 (Apr 2015).
20. Jia, L.-J. and Kuwamura, H. "Prediction of cyclic behaviors of mild steel at large plastic strain using coupon test results", *J. Struct. Eng.*, **140**(2), 040130 (Feb 2014).
21. Mazzolani, F.M., Ricles, J.M. and Sause, R. "STESSA 2009", *Proceedings of the 6th International Conference on Behaviour of Steel Structures in Seismic Areas, Philadelphia, Pennsylvania, USA, CRC Press*, (16-20 Aug 2009).
22. Eryaşar, E. "Experimental and numerical investigation of buckling restrained braces", *Thesis, Middle East Technical University, Ankara, Turkey* (2009).
23. Chou, C.-C. and Chen, S.-Y. "Subassemblage tests and finite element analyses of sandwiched buckling-restrained braces", *Eng. Struct.*, **32**(8), pp. 2108-2121 (2010).
24. Genna, F. and Gelfi, P. "Analysis of the lateral thrust in bolted steel buckling-restrained braces. I: experimental and numerical results", *J. Struct. Eng.*, **137**(10), pp. 1231-1243 (2011).